

УДК 621.181.125.253

## МАТЕМАТИЧЕСКАЯ МОДЕЛЬ ДИНАМИКИ РАЗОГРЕВА ВОДЫ ЭЛЕКТРОВОДОНАГРЕВАТЕЛЕМ С ПАССИВНЫМ ЭЛЕКТРОДОМ

© В.И. Ляшков, В.Ф. Калинин, А.М. Шувалов, О.В. Терентьев

Lyashkov V.I., Kalinin V.F., Shuvalov A.M., Terentyev O.V. A mathematical model of the dynamics of water heating by an electric water heater with a passive electrode. The article proposes a mathematical model of the dynamics of water heating by an electric water heater with a passive electrode. It also discusses the calculations of the device and adequacy of its test.

Электроводонагреватели и парогенераторы электродного типа получают все большее распространение во многих отраслях производства, особенно в сельском хозяйстве. Использование пассивного электрода в составе электродной группы позволяет получить определенные преимущества [1] и является одним из перспективных конструктивных решений. На рис. 1 приведена схема такого водонагревателя с указанием всех его основных размеров, а на рис. 2 – эквивалентная электрическая схема включения электродов.

Методика инженерных расчетов, основанная на анализе установившихся режимов работы аппарата [2], зачастую не обеспечивает необходимой точности и достоверности получаемых результатов и не дает представлений о динамике процессов, протекающих в аппарате.

Рабочий процесс нагревателя разбъем на два этапа. На первом этапе происходит разогрев воды по обе стороны пассивного электрода: проточной зоне между корпусом водонагревателя и пассивным электродом, и непроточной – между фазным и пассивным электродами. Нагрев на данном этапе длится до тех пор, пока в непроточной зоне вода не нагреется до температуры кипения  $t_h$ , значение которой определяется абсолютным давлением воды в верхней точке непроточной зоны

$$P = B + H, \quad (1)$$

где  $B$  – барометрическое давление;  $H$  – высота столба воды в расширительном баке.

Электрическое сопротивление проточной зоны при этом будет [2]:

$$R_n = \rho_t \frac{1}{2\pi l_n} \ln \frac{3a^2(d_k^2 - a^2)^3}{d_n^2(d_k^6 - a^6)}, \quad (2)$$

где  $\rho_t = \frac{40\rho_{20}}{t + 20}$  – удельное электрическое сопротивление воды при температуре  $t$ ;  $\rho_{20}$  – удельное электрическое сопротивление воды при температуре  $t = 20$  °C ( $\rho_{20} = 10-20$  Ом·м [2]);  $l_n$ ,  $a$ ,  $d_n$ ,  $d_k$  – геометрические размеры, приведенные на рис. 1. Для непроточной

зоны на первом этапе величина электрического сопротивления будет определяться [2]:

$$R_h = \rho_t \frac{1}{2\pi l_n} \ln \frac{d_n}{d_k}. \quad (3)$$

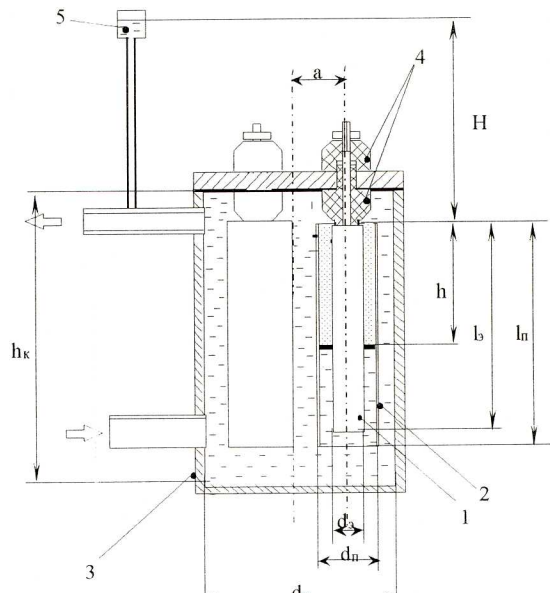
Тогда рабочий фазный ток в аппарате будет

$$i = \frac{U}{R_n + 2R_h}, \quad (4)$$

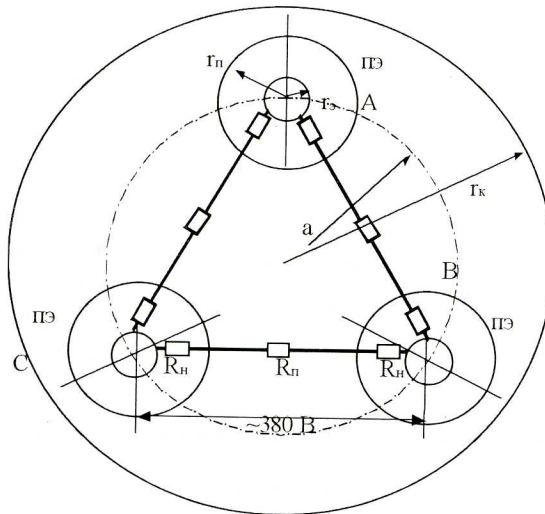
а мощность, выделяемая по зонам, соответственно

$$N_n = \sqrt{3} \cdot i^2 \cdot R_n \quad \text{и} \quad N_h = 2\sqrt{3} \cdot i^2 \cdot R_h, \quad (5)$$

где  $U$  – линейное напряжение питающей сети.



**Рис. 1.** Схема электроводонагревателя с пассивным электродом и его основные конструктивные размеры: 1 – фазный электрод, 2 – пассивный электрод, 3 – корпус водонагревателя, 4 – разборный изолятор, 5 – компенсационная емкость



**Рис. 2.** Эквивалентная электрическая схема электроводонагревателя: А, В, С – фазные электроды, пэ – пассивные электроды, К – корпус,  $R_n$  и  $R_p$  – сопротивление в непроточной и в проточной зонах, а,  $r_n$ ,  $r_p$  – радиусы центров электродов, пассивных и фазных электродов

Полагая, что в любой момент времени  $\tau$  за элементарно малый промежуток  $d\tau$  температуры в проточной и непроточной зонах изменяются соответственно на  $dt_n$  и  $dt_h$ , запишем уравнения теплового баланса для каждой из зон. Для непроточной зоны, если считать, что вместе с водой здесь прогреваются и оба электрода, такой баланс будет выглядеть так:

$$N_h \cdot \eta_3 \cdot d\tau = c_b \cdot m_h \cdot dt_h + c_c \cdot m_3 \cdot dt_h + 3 \cdot k_1 (t_h - \bar{t}_n) \cdot F_m \cdot d\tau. \quad (6)$$

Здесь левая часть отражает количество выделяемого тепла, а слагаемые правой части – количества тепла, израсходованные на нагрев воды, нагрев электродов и передачу тепла в проточную зону. В формуле (6) приняты следующие обозначения:  $\eta_3$  – электрический КПД аппарата;  $c_b$  и  $c_c$  – удельная теплоемкость воды и стали, соответственно;  $m_h$  и  $m_3$  – масса воды в непроточной зоне и масса электродов;  $k_1$  – коэффициент теплопередачи через пассивный электрод:

$$k_1 = \frac{1}{\frac{1}{\alpha_n} + \frac{\delta}{\lambda} + \frac{1}{\alpha_h}}; \quad (7)$$

$\alpha_n$  – коэффициент теплоотдачи от пассивного электрода к воде;  $\alpha_h$  – коэффициент теплоотдачи от воды из непроточной зоны к пассивному электроду;  $\delta$  – толщина электрода;  $\lambda$  – теплопроводность стали.  $F_m = \pi d_n l_3$  – поверхность теплопередачи;  $t_h$  и  $\bar{t}_n$  – температуры в непроточной зоне и средняя температура в проточной зоне. Величины  $\alpha_n$  и  $\alpha_h$  можно рассчитать, привлекая соответствующие критериальные уравнения из [3], величину  $t_n$  – как среднюю температуру воды на входе и выходе проточной зоны.

При этом в непроточной зоне на рассматриваемом этапе теплоотдача осуществляется свободной конвек-

цией. В проточной зоне осуществляется вынужденное движение, но скорость его настолько мала, что и здесь можно рассматривать  $\alpha$  как при свободной конвекции.

Для проточной зоны следует учитывать, что здесь не только выделяется тепло за счет электрического тока, но и передается еще от трех непроточных зон через поверхности пассивных электродов. Расход же тепла идет на разогрев воды, находящейся в этой зоне, разогрев корпуса водонагревателя и на компенсацию тепловых потерь с наружных поверхностей аппарата. Таким образом, уравнение теплового баланса будет иметь вид:

$$(N_h \eta_3 + 3 \cdot k_1 (t_h - \bar{t}_n) F_m) d\tau = C_b m_h dt_h + C_b M (t_{n_2} - t_{n_1}) d\tau + C_c m_k dt_n + Q d\tau, \quad (8)$$

где  $m_h = V_p \rho_p + M d\tau$  – масса воды в проточной зоне, нагреваемая на  $dt_h$ ;  $M$  – массовый расход нагреваемой воды;  $t_{n_1}$ ,  $t_{n_2}$  – температура на входе и выходе из аппарата, соответственно;  $m_k$  – масса корпуса;  $Q$  – тепловые потери в окружающую среду, которые, если пренебречь термическим сопротивлением стальной стенки, определяются известным выражением:

$$Q = \frac{\pi h (t_h - t_o) \cdot d_k}{\frac{1}{\alpha_n d_k} + \frac{1}{2\lambda_{iz}} \ln \frac{(d_k + 2\delta)}{d_k} + \frac{1}{\alpha_o (d_k + 2\delta)}}, \quad (9)$$

где  $d_k$  – диаметр корпуса;  $h$  – высота корпуса;  $\lambda_{iz}$  – теплопроводность материала изоляции;  $\delta$  – толщина слоя изоляции;  $t_o$  – температура окружающей среды;  $\alpha_o$  – коэффициент теплоотдачи от поверхности изоляции в окружающую среду.

Уравнения (6) и (8) приведем к канонической форме и отметим, что они составляют замкнутую систему нелинейных дифференциальных уравнений первого порядка, интегрирование которых может быть выполнено одним из известных численных методов:

$$\frac{dt_h}{d\tau} = \frac{2\sqrt{3} i^2 R_n \eta_3 - 3 \cdot k_1 (t_h - \bar{t}_n) F_m}{C_b m_h + C_c m_3} \quad (10)$$

$$\frac{dt_n}{d\tau} = \frac{\sqrt{3} i^2 R_n \eta_3 + 3 \cdot k_1 (t_h - \bar{t}_n) F_m - C_b M (t_{n_2} - t_{n_1}) - Q}{C_b m_h + C_c m_k} \quad (11)$$

Рассмотрим второй этап работы аппарата, когда в непроточной зоне вода нагрелась до температуры кипения и выделяемое за счет протекания электрического тока тепло вызывает кипение воды, а образующийся пар, частично конденсируясь на стенах, вытесняет часть воды из рабочего пространства. В результате пространство высотой  $h$  заполняется паром, давление и температура которого определяется теперь суммой:

$$P = B + H + h. \quad (12)$$

Тепловой баланс теперь помимо приходной части (тепло, выделяемое при протекании электрического тока) имеет следующие расходные составляющие:

- теплоту, необходимую для образования такого количества пара  $dm_1$ , которое полностью сконденсируется на стенках пассивных электродов в непроточной зоне;
- теплоту, необходимую для образования количества пара  $dm_2$ , которое не сконденсируется, а приведет к увеличению объема паровой зоны в пространстве между фазным и пассивным электродами (увеличению высоты  $h$ );
- теплоту, которая будет передаваться от кипящей жидкости через стенки пассивных электродов к воде проточной зоны;
- теплоту, которая будет передаваться воде проточной зоны от сконденсированного пара;
- теплоту, которая потребуется, чтобы нагреть воду из проточной зоны массой  $dm_2$  до температуры кипения (идет на компенсацию потерь пара);
- теплоту, чтобы нагреть конденсат массой  $dm_1$  снова до температуры кипения;
- теплоту, необходимую для нагрева воды в непроточной зоне на изменение температуры насыщения, вызванное увеличением давления. Впрочем, этим количеством тепла можно пренебречь, поскольку при изменении  $h$  от 0 до  $h_{\max}$  ( $h_{\max} = l_3$ ) температура насыщения меняется на 1,34 °C (при  $H = 3$  м).

Распишем подробно составляющие этого баланса, как и прежде рассматривая его за элементарно малый промежуток времени  $d\tau$ :

$$\begin{aligned} & 2\sqrt{3} \cdot i^2 R_{H_2} \eta_{\text{эл}} d\tau = \\ & = dm_1 r + dm_2 r + 3 \cdot \kappa_2 F_{\text{n}} (t_{\text{нас}} - \bar{t}_{\text{n}}) d\tau + \quad (13) \\ & + 3 \cdot \kappa_3 F_{\text{в}} (t_{\text{нас}} - \bar{t}_{\text{n}}) d\tau + dm_2 C_{\text{в}} (t_{\text{нас}} - \bar{t}_{\text{n}}) + \\ & + C_{m_1} C_{\text{в}} \left( t_{\text{нас}} - \frac{t_{\text{нас}} + t_{\text{ст}}}{2} \right) + m_{\text{н}} C_{\text{в}} dt_{\text{нас}}, \end{aligned}$$

где

$$R_{H_2} = \rho_t \frac{K_{\text{k}}}{2\pi(l_3 - h)} \ln \frac{d_{\text{n}}}{d_3}. \quad (14)$$

$K_{\text{k}}$  – коэффициент, учитывающий увеличение электрического сопротивления воды при ее кипении за счет образующихся пузырьков пара. По литературным источникам,  $K_{\text{k}} \approx 1,2 \div 1,3$  [4];  $r$  – теплота парообразования при температуре насыщения  $t_{\text{нас}}$ ,  $\kappa_2$ ,  $\kappa_3$  – коэффициенты теплопередачи в зоне конденсации и в зоне кипения, соответственно:

$$\kappa_2 = \frac{1}{\frac{1}{\alpha_{\text{n}}} + \frac{\delta}{\lambda} + \frac{1}{\alpha_{\text{конд}}}} ; \quad (15)$$

$$\kappa_3 = \frac{1}{\frac{1}{\alpha_{\text{n}}} + \frac{\delta}{\lambda} + \frac{1}{\alpha_{\text{кип}}}} , \quad (16)$$

$\alpha_{\text{n}}$  – коэффициент теплоотдачи от поверхности пассивного электрода воде проточной зоны;  $\alpha_{\text{конд}}$  – коэффициент теплоотдачи при конденсации;  $\alpha_{\text{кип}}$  – коэффициент теплоотдачи при кипении.

Расчет этих величин производится по известным формулам [3]:

$$\begin{aligned} \alpha_{\text{конд}} &= 0,941 \cdot 4 \sqrt{\frac{gr\rho^2\lambda^3}{\mu(t_{\text{n}} - t_{\text{c}})h}} ; \\ \alpha_{\text{кип}} &= 3P^{0,15}q^{0,7} , \end{aligned} \quad (17)$$

где  $P$  – давление в барах,  $F_{\text{n}}$ ,  $F_{\text{в}}$  – соответствующие поверхности теплообмена (одна высотой  $h$ , другая –  $(l_3 - h)$ );  $\bar{t}_{\text{n}}$  – средняя температура в проточной зоне;  $t_{\text{c}}$  – температура стенки пассивного электрода;  $m_{\text{н}} = \frac{\pi}{4}(d_{\text{n}}^2 - d_3^2)\rho_{\text{в}}(l_3 - h)$  – масса воды в непроточной зоне;  $dt_{\text{нас}}$  – изменение температуры насыщения при изменении высоты паровой зоны  $h$  на величину  $dh$ ;  $q$  – плотность теплового потока при кипении, определяется соотношением:

$$q = \frac{i^2 R_{\text{н}} \eta_{\text{з}}}{\frac{\pi}{4}(d_{\text{n}}^2 - d_3^2)} , \quad (18)$$

где числитель представляет собой мощность, выделяемую в непроточной зоне, а знаменатель – площадь поверхности кипения (площадь кольца между фазным и пассивным электродом).

Третье слагаемое правой части уравнения (13) описывает количество тепла, отдываемого паром воде проточной зоны. Разделив это тепло на теплоту парообразования, получим массу  $dm_1$ :

$$dm_1 = \frac{\kappa_2 F_{\text{n}} (t_{\text{n}} - \bar{t}_{\text{n}})}{r} d\tau . \quad (19)$$

С учетом этого уравнение (13) можно представить как уравнение, описывающее изменение массы пара  $m_2$  по времени  $d\tau$ :

$$\begin{aligned} \frac{dm_2}{d\tau} &= \frac{2\sqrt{3} \cdot i^2 R_{H_2} \eta_{\text{з}} - 2\kappa_2 F_{\text{n}} (t_{\text{нас}} - \bar{t}_{\text{n}}) - \kappa_3 F_{\text{в}} (t_{\text{нас}} - \bar{t}_{\text{n}}) - }{r +} \\ & - \frac{\kappa_2 F_{\text{n}} (t_{\text{нас}} - \bar{t}_{\text{n}})}{r} \cdot C_{\text{в}} (t_{\text{нас}} - \bar{t}_{\text{n}}) - m_{\text{н}} C_{\text{в}} \frac{dt_{\text{нас}}}{d\tau} \\ & + C_{\text{в}} (t_{\text{нас}} - \bar{t}_{\text{n}}) \end{aligned} \quad (20)$$

Если массу  $dm_2$  умножить на удельный объем насыщенного пара  $v''$ , то получим увеличение объема паровой зоны  $dV$ , а разделив это на площадь сечения, найдем величину  $dh$ :

$$dh = \frac{4dV}{\pi(d_{\text{n}}^2 - d_3^2)} = \frac{4dm \cdot v''}{\pi(d_{\text{n}}^2 - d_3^2)} , \quad (21)$$

откуда

$$dm = dh \frac{\pi(d_{\Pi}^2 - d_s^2)}{4v''}. \quad (22)$$

С учетом этого уравнение (20) можно записать в канонической форме следующим образом:

$$\frac{dh}{d\tau} = \frac{4v''}{\pi(d_{\Pi}^2 - d_s^2)} \cdot \frac{2i^2 R_{n_2} \eta_{\text{эл}} - (t_{\text{нас}} - \bar{t}_{\Pi}) \cdot (2\kappa_2 F_{\Pi} - \kappa_3 F_{\text{в}})}{r +} - \frac{\kappa_2 F_{\Pi}}{r} \left( \frac{t_{\text{нас}} - \bar{t}_{\Pi}}{4} \right) - \frac{m_{\Pi} C_{\text{в}}}{dt} \frac{dt_{\text{нас}}}{d\tau} + C_{\text{в}} (t_{\text{нас}} - \bar{t}_{\Pi}). \quad (23)$$

Интегрирование этого уравнения позволит получить зависимость  $h = f(\tau)$ . Изменение температуры в непроточной зоне будет определяться только изменением давления в ней:

$$\frac{dt_{\Pi}}{d\tau} = \frac{dt_{\text{нас}}}{dP}, \quad (24)$$

где Р определяется выражением:

$$P = B + H + h + dh. \quad (25)$$

Анализируя процессы в проточной зоне на втором этапе, отмечаем, что теперь количество получаемого от непроточной зоны тепла определяется так же двумя слагаемыми (от зоны кипения и от зоны конденсации), а расходные составляющие теплового баланса останутся прежними:

$$\left[ \sqrt{3} \cdot i^2 R_{\Pi} \eta_{\text{эл}} + 3(t_{\text{нас}} - \bar{t}_{\Pi}) (\kappa_2 F_{\Pi} + \kappa_3 F_{\text{в}}) \right] d\tau = C_{\text{в}} m_{\Pi} dt_{n_2} + C_{\text{в}} M (t_{\text{нас}} - \bar{t}_{\Pi}) d\tau + C_{\text{в}} m_{\text{в}} dt_{n_2} + Q d\tau \quad (26)$$

Приведем это выражение к канонической форме, чтобы убедиться, что и здесь численное интегрирование позволяет рассчитать зависимость  $t_{\Pi} = f(\tau)$ :

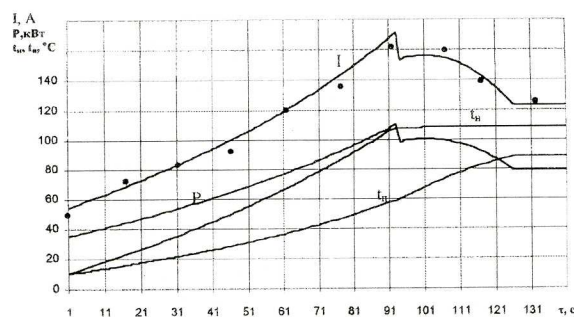


Рис. 3. Результаты расчета и экспериментальные данные динамических процессов водонагревателя в проточном режиме нагрева при расходе воды 15 л/мин

$$\frac{dt_{n_2}}{d\tau} = \frac{\left[ \sqrt{3} \cdot i^2 R_{\Pi} \eta_{\text{эл}} + 3(t_{\text{нас}} - \bar{t}_{\Pi}) (\kappa_2 F_{\Pi} + \kappa_3 F_{\text{в}}) \right] - C_{\text{в}} M (t_{n_2} - \bar{t}_{\Pi}) + Q}{C_{\text{в}} m_{\text{в}} + C_{\text{в}} m_{\text{к}}} \quad (27)$$

Интегрирование приведенных дифференциальных уравнений (23), (24) и (27) было проведено на ПК с помощью пакета прикладных программ, выполненных на языке Паскаль (BP-7). Использовался метод Рунге – Кутта 4-го порядка с автоматическим шагом, обеспечивающим заданную точность [5]. Реализован структурно-модульный принцип: и метод Рунге – Кутта, и другие вычислительные алгоритмы (расчет коэффициентов теплоотдачи, коэффициентов теплопередачи, электрического сопротивления зон и др.) были выполнены в виде отдельных процедур и модулей с обращением к ним из вызывающей программы. При этом термодинамические характеристики воды и пара рассчитывались с использованием соответствующих модулей из [6].

Результаты расчетов для одного из реальных аппаратов с параметрами  $d_{\text{к}} = 0,23$  м,  $d_{\Pi} = 0,082$  м,  $d_s = 0,057$  м,  $l_s = 0,6$  м,  $l_{\Pi} = 0,62$  м,  $H = 3$  м,  $G = 15$  л/мин,  $m_{\Pi} = 0,84$  кг,  $m_{\phi} = 1,4$  кг,  $m_{\text{к}} = 18,4$  кг при  $\rho_{20} = 12$  Ом·м приведены на рис. 3, где также представлены результаты экспериментальных исследований линейного тока в период выхода водонагревателя на установившийся режим нагрева. Из рисунка 3 видно, что максимальное отклонение расчетных результатов от экспериментальных составляет менее 5 % и это можно считать за доказательство адекватности полученной математической модели.

На рис. 4 приведены кривые изменения  $t_{n_2}$  и  $i$  по времени при расходах  $G$ , равных 5, 10, 15 и 20 л/мин. Рисунок 4 наглядно отображает, насколько затягивается процесс разогрева с увеличением расхода воды, и как расход влияет на величину температуры воды на выходе водонагревателя.

Таким образом, на основе тепловых балансов была получена математическая модель, адекватно описывающая процессы, протекающие в водонагревателе

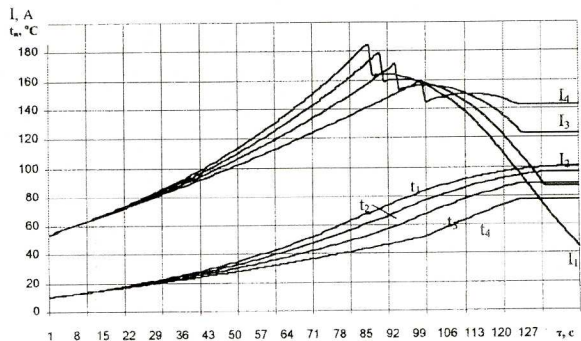


Рис. 4. Кривые изменения температуры воды на выходе водонагревателя ( $t_{\Pi}$ ) и потребляемого тока ( $I$ ) по времени при различных расходах: 1 – при расходе 5 л/мин, 2 – при расходе 10 л/мин, 3 – при расходе 15 л/мин, 4 – при расходе 20 л/мин

с пассивным электродом, позволяющая досконально исследовать неустановившейся и переходные процессы.

## ЛИТЕРАТУРА

1. Калинин В.Ф., Шубалов А.М., Гудухин В.Ф., Терентьев О.В. Электродный саморегулируемый водонагреватель // Механизация и электрификация сельского хозяйства. 2000. № 11. С. 15-16.
2. Гайдук В.И., Шмидель В.Н. Практикум по электротехнологии. М.: Агропромиздат, 1989. С. 175.
3. Исаченко В.П., Осипова В.А., Сукомел А.С. Теплопередача. М.: Энергия, 1975. С. 486.
4. Электротермическое оборудование для сельскохозяйственного производства / Н.Б. Каган и др. М.: Энергия, 1975. 192 с.
5. Агеев М.И., Алик В.П., Галиев Р.М., Макаров Ю.И. Библиотека алгоритмов. М.: Сов. радио, 1975.
6. Ляшков В.И. Компьютерные расчеты в термодинамике. Тамбов: ТГТУ, 1997. С. 163.

Поступила в редакцию 14 марта 2002 г.